

(25) 連続体の弾性安定解析

角野晃二 小沢善隆
三井知男

序 連続体に作用する Follower Force は一般には Nonconservative であるが、或種の境界条件のもとでは Conservative になり、生じる不安定現象が Divergence type に限られることがよく知られているところであるが、不安定臨界前の変形が複雑な形状を示す弾性体においては、その安定域が極めて狭く、ごく僅かの Geometrical または Dynamical Disturbance によって容易に Flutter type または Internal Resonance による Instability の生じる場合のあることを具体例を挙げて示すのが本論の目的である。

実験や実際の構造物においては、理想的な境界条件を満足させることは困難であり、何らかの微小不整はつねに存在するものと考えるべきであり、負荷条件もしづりである。従って上述のような配慮の意義は大きい。本論で述べる Circular Arch の例は不安定臨界前の変形が単純な場合の異形であり、部分球形殻は複雑な場合の例である。

(1) 部分球形殻 一様外圧を受ける周辺固定部分球形殻の挫屈解析については、過去2,30年間に亘る大研究の蓄積があり現在なお盛んに研究されているが、その結果もよく知られており、筆者がここに詳しく紹介するまでもない。本論への前提として簡単に概略を述べる。すなわち 実験による限界圧は理論計算によるそれより可成低いがこの実験値と解析値との不一致の原因は (i) 形状係数 $\lambda > 5.5$ の殻では非軸対称分歧挫屈の発生 (ii) 初期形状不整の存在にありとすらもつて、約20年前に得られた Budiansky, B., Weinitschke, H.J., Huang, N.C. 及び Keller, H.B. and Wolf, A.W. の結果が現在においても信頼され、最近の数値解析結果もこれらを裏付けており、また筆者等もそれを確認している。しかし Sunakawa, M. and Ichida, K. の実験は挫屈直前直後の変形は軸対称であることを主張しており、上の解析的結論に対する否定的である。また最近形状初期不整を精密に計測した実験が行われ、初期不整効果について、解析値とよい一致をみており、非軸対称分歧に対しても肯定的である。しかし軸対称挫屈例がないわけではなく、なぜ断定的結論は避けたべきものと思われる。

(i) 平衡解析 筆者等は従来の殆んど大多数の研究者が採用してきた Reipnner, E. または Marguerre, K. 基礎方程式が大胆な省略のもとに成立していることに注意し、形状 parameter として a/h (半径・殻厚比), β (半開角) を独立に含み、外圧の從動性考慮に入れた精密な非線形基礎微分方程式を立て、代数関数または Bessel 関数系を座標関数とした Galerkin Method で解き、従来の結果と比較した。しかし得られた結果は Global には Budiansky 等の結果とよい一致を示していると言えよう。逆に言はず Reipnner または Marguerre 方程式による解は形状係数の可成広範囲(少なくとも $\beta \leq \pi/3$)においても充分信頼し得ることが明かになつた。その理由としては 挫屈直前の最大撓みがせいぜい 殻厚の $1/2$ 程度であり、後りに開角が大きい殻においても高次非線形項及び圧力の從動性の影響が微小で無視し得たためと考えられる。

記号. a : 球の曲率半径, h : 補厚(一定), β : 半開角(rad), $H = a(1 - \cos\beta)$, $L = a\beta$: 半周長
 θ, φ : 経線及緯線方向座標変数(rad), $0 \leq \theta \leq 2\pi$, $-\beta \leq \varphi \leq +\beta$, $x = \varphi/\beta$, $-1 \leq x \leq +1$.
 w, v : 中央面の法線方向及緯線方向変位, $y = w/h$, $z = v/\beta h$: 無次元化変位.
 $(\cdot)' = \partial_\theta(\cdot)$, $(\cdot)' = \partial_x(\cdot)$, E : Young係数, ν : Poisson比, $D = Eh^3/(1 - \nu^2)$: 材曲げ剛度,
 p : 一様外圧(/単位面積), $q = p/2E(a/h)^2$: 無次元化外圧, p_0 : 完全球殻形古典屈屈外圧.
 $q_0 = p_0/2E(a/h)^2 = 1/\sqrt{3(1 - \nu^2)} \doteq 0.605$: 完全球殻の無次元化古典外圧.
 $\varepsilon_\theta, \varepsilon_\varphi$: 経線及緯線方向中央面内歪, N_θ, N_φ : 方々同方向面内
 合応力, M_θ, M_φ : それぞれ同方向断面曲げ合応力, Q_φ : 緯線方向
 断面剪断合応力.

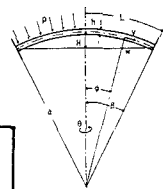


Fig. 1

(ii)

Fig. 2 A, B はそれぞれ
 代数的解, Bessel関数
 を用いた解析によって
 得られた軸対称最大
 壓と形状係数 β, α
 及びの関係を示す.
 $a/h = 100$ は定めてある
 ので、形状係数は β で
 示せばよかつであるが、
 従来の 1 parameter
 α (or λ) による解析
 結果と比較するため、
 $d(\lambda)$ 値も並記した.

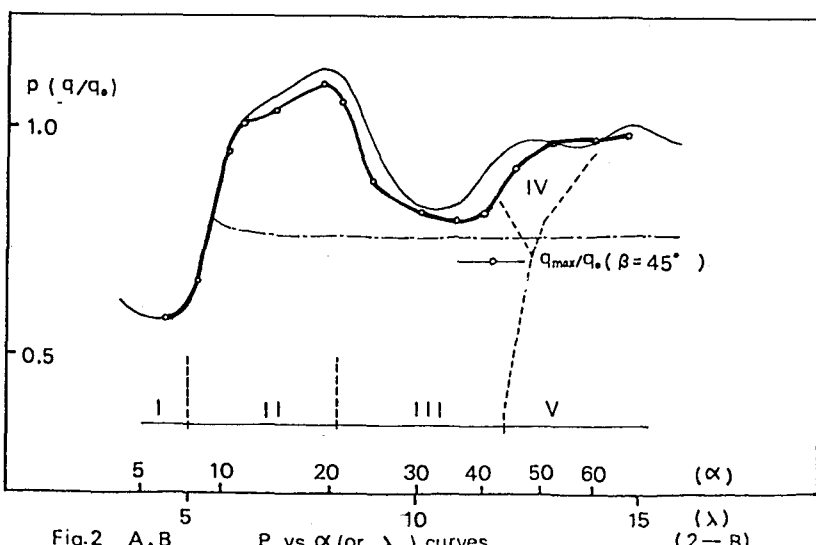
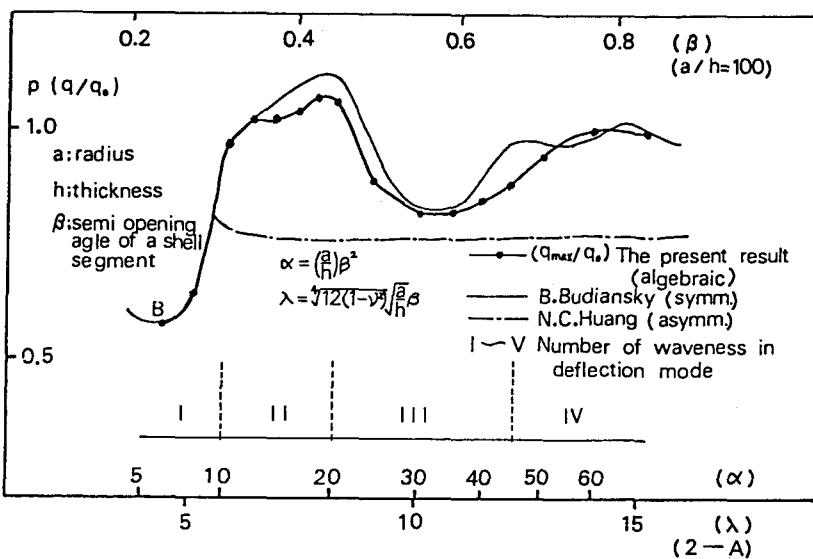


Fig. 2 A, B P vs α (or λ) curves (2-B)

この図によつて、従来
 の解析結果とよりも
 筆者等の A, B 2 解析
 がよりよい一致を
 示すことが明らかであ
 る。

図中の I, II ~ V は
 振みの緯線方向半波
 数を示し、最大圧は連
 続するまでに波数変化
 のある場合も示された
 (これは一種の2次屈

屈現象とみることもできよう。) 単純支持(周辺で $w=0$, $v=0$, $M_g=0$)の場合解析は比較的少ないが、Fig 3 に筆者等の結果と Weinitzschke のものを示した。なお筆者等の代数関数を採用した結果は 図の前者と極めてよく一致を示すので省略した。

なお単純支持の場合の実験はその困難性故行なわれていない。

なお $d=20$, $d=45$ の周辺固定殻における屈曲直前の挠み分布、応力(N_y)分布の実験値(Sunakawa-Ichida)と筆者等の解析における平衡path上の $\beta = 0.5 \sim 0.6$ 附近のそれとを対比すると、定性的にはもとより定量的にも極めてよく一致しており、従つてこの時支点は問題でなく、その後、上述の軸対称最大圧に達することなく、すなはち非対称分岐まで生じたのかどうかが問題であると筆者等は考えた。

(2) Dynamic Method と Stability Analysis. (1)で得た Equilibrium Path 上の各時刻(State)において軸対称モードと非軸対称モードの微小 disturbance を与え、動的応答を調べたのであるが、この場合 Conservative な問題であるから、不安定は Divergence type ではなく(i)先づ非軸対称 disturbance (経線方向 CONNO 展開、次数 $N=1, 2, \dots$)に対しては、Huang 等が隣接平衡状態(非軸対称)の存在条件を Euler Method で求めたと理論的にも全く同当である。結果を Fig 3 ～ 6 に示す。

単純支持の場合 非対称分岐圧と軸対称最大圧との差は 固定の場合ほど全般的に大きくなり。

また 固定の場合 $d=10$ では $N=2$ mode と、 $d=40 \sim 50$ では $N=7 \sim 8$ mode が最小分岐圧が存在するが $d=35 \sim 45$ では 軸対称最大圧との差は僅少であり、この解析結果から併せて分岐が優先するとは言いかねないようと思われる。(固定では $N=1$ mode は現われないが、単純支持では $d=5$ で $q/q_0 = 0.62$, $N=1$ を示す(Fig 3))。

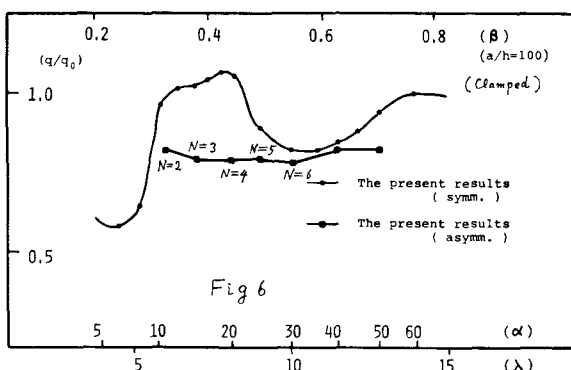


Fig 6

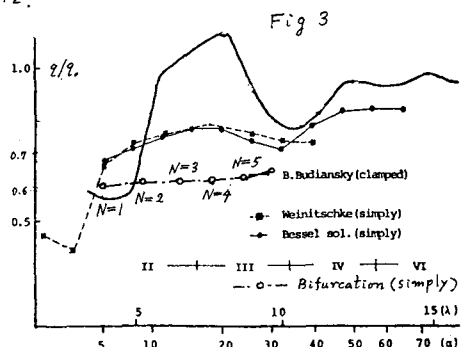


Fig 3

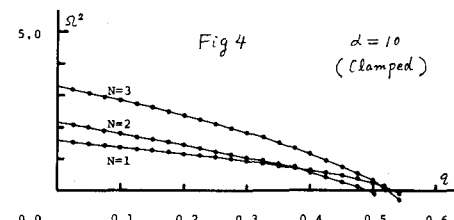


Fig 4

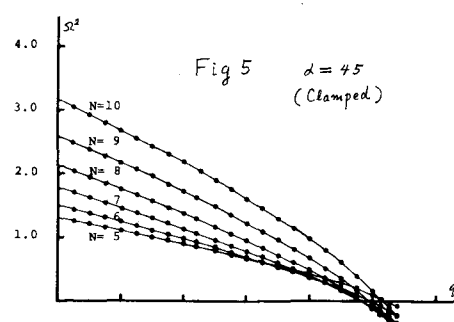


Fig 5

Fig 4, 5 は 各展開次数 N に対する最小固有値 Q^2 の圧力 q に対する変化をまとめて示したものである。(従つて各次数 N に対する第2以上の固有値は省略されていふ。)

(ii) 軸対称 Disturbance による 固有値—圧力曲線を Fig 7～9 に示す。ここで非軸対称 固有値にはみられなかつた特徴として Equilibrium Path の Divergence Point は達するまでの途中で主要固有値の非常に接近する点の存在するところである。例えは 固定 $d = 20$ における $q = 0.6$ 、固定 $d = 45$ における $q = 0.3$ 、単純支持 $d = 40$ における 0.3 近傍である。

これはこの近傍において安定域が狭くなっていることを示し、次に述べるような種々の検討が必要となる。なお 固有値 0 を与える Divergence Point の圧力値 q は Equilibrium Path の First Max. Value とよく一致することが認められる。

(3) Nonconservative Disturbance 附加

12.3 安定域の検討

上述のような隣接固有値をもつ平衡状態においては、a) 極く僅かな動的外力の附加 (例えは Step Load) によって Internal Resonance による振動の生じる可能性があり、線形及び非線形変分方程式により動的性状を調べる必要がある。

- b) 周辺支持条件を僅かに緩めることによって Normal follower force (Hydro static pressure) は NonConservative となる。従って周辺条件を少々変化させた平衡状態を求めその安定性を調べる。
- c) Tangential Follower Force は周辺支持条件のもとでも Nonconservative であるので、これを僅か附加した場合の Equilibrium Path を求め対応状態の安定性の変化を調べる。

ここで C) に対する検討結果を示す。

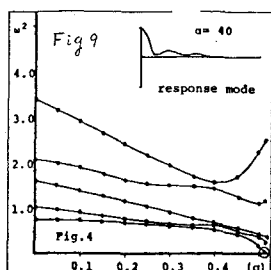
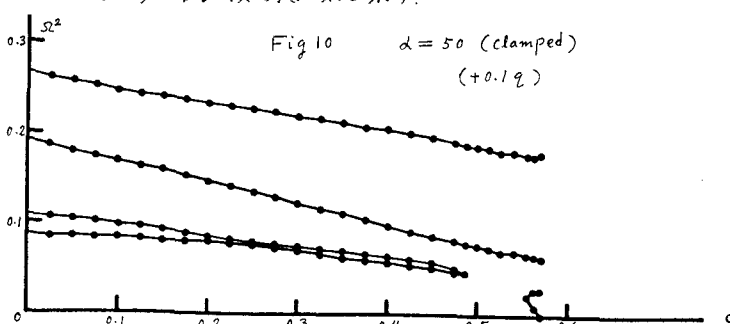
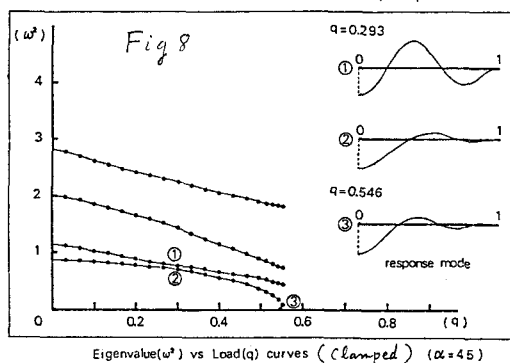
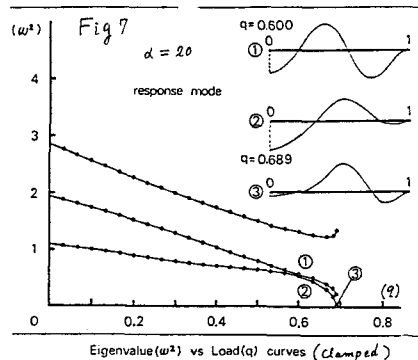


Fig 10, 11 は 繰線方向に一様な Tangential Follower Force $+0.1q$, $+0.3q$ を附加して平衡 Path の固有値—圧力曲線を示す。それぞれ $q = 0.49$, $q = 0.23$ 近傍で固有値は複素数になり、Flutter Instability を起すことを示している。なお Follower Force 附加量と固有値が複素数になる限界圧力との関係を Fig 13 に示す。 $d = 50$ では $+0.15q$ で限界圧は半減するが逆方向負荷では反応しない。また近接固有値をもつ

12) $d=5$ の殻では負荷量の量、向き如何に拘らず反応の方向比が認められず。

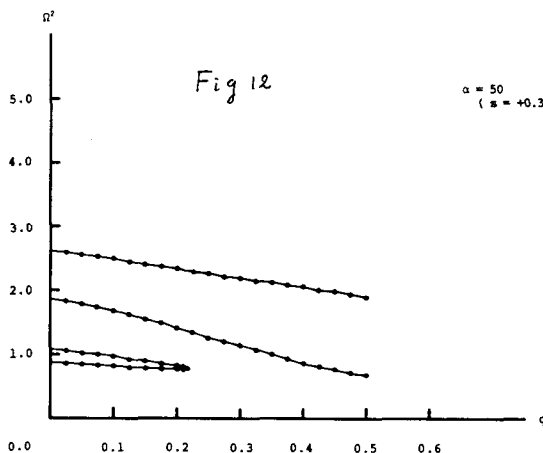


Fig 12

$$\alpha = 50 \\ (\beta = +0.39)$$

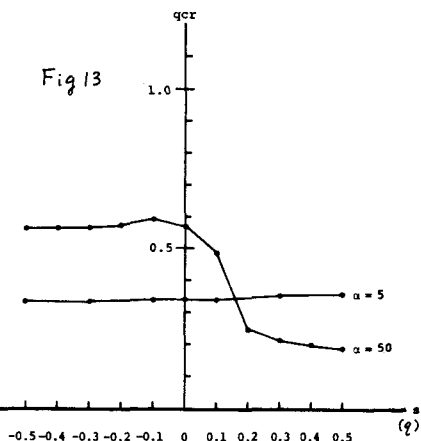


Fig 13

以上の解析結果より軸非対称分岐(bifurcation), 軸対称(Snapthrough)何れも不安定が優先するがは立ち充分検討の余地があると思われる。

References

- (1) Budiansky, B., Buckling of Clamped Shallow Spherical Shells. Proc. IUTAM Symp. On the Theory of Elastic Shells, Delft, Netherlands (1959)
- (2) Weinitzschke, H.J., On the Stability Problem for Shallow Spherical Shells, J. Math. and Phys. (1960)
- (3) Keller, H.B. and Wolfe, A.W., On the Nonunique Equilibrium States of Buckling Mechanism of Spherical Shells. Appl. Math. (1963)
- (4) Huang, N.C., Unsymmetric Buckling of Shallow Spherical Shells. J.AIAA (1963)
- (5) Weinitzschke, H.J., Asymmetric Buckling of Clamped Spherical Shells. NASA TN D1510, Washington, D.C. (1962)
- (6) Tillman, S.C., On the Buckling Behavior of Shallow Spherical Caps under a Uniform Pressure Load. Int. J. Solids. Structures. Vol. 6. (1970)
- (7) Sumino, K. and Akizuki, K., An introduction to the Study of Buckling Behavior of Spherical Shells. Transaction of The Architectural Institute of Japan. No. 253 Mar. 1977 (in Japanese)
- (8) Sunakawa, M. and Ichida, K., Buckling of the Spherical Shells subjected to External Pressure. Journal of

なが Circular Arch の解析

例12 例11 附録12 示すと
と認められ、両端 Hinged, 固定,
何れにおいても半開角 β の増
大とともに不安定 mode の
優先順位は

$Snap \rightarrow Bifurcation \rightarrow Snap$
 β —————— 5° —————— 128° —————— 180°
 β —————— 15° —————— 120° —————— 180°
 (Hinged) (Hinged)
 (clamped) (clamped)

のように変化するが、近接固有値
をもつ平衡状態は存在しない。
これは不安定変形 mode が極めて
单纯なためと考えられる。

終りに、
筆者等は安定域の構造と理論
的分析の重要性を主張す
る。

- the Japan Society for Aeronautical and Space Sciences.
 Vol. 21. No. 232 (1973)
- (9) Sunakawa, M., A Note on Stability of Shells. Report of Inst. of Space & Aeronautical Science. Univ. of Tokyo (1973)
- (10) Uemura, M., Axisymmetrical Buckling of Initially Deformed Shallow Spherical Shell under External Pressure. Int. J. Nonlinear Mechanics Vol. 6. (1971)
- (11) 山田聖志, 内山和夫, 山田大彦
 外圧を受ける部分球殻の座屈に関する実験的研究 I, II.
 第29, 30回応用力学連合講演会論文抄録集(1979, 1980)

角野晃二 日本大学生産工学部
 教授 工博

小沢善隆 同 助手 工修

三井和男 同 副手 工修

(Appendix)

Nonlinear Basic Equations

Method of Analysis

$$N_\psi + (N_\psi - N_\theta) \cot\psi + Q_\psi - p(w+v) = 0 \quad (1) \quad y = \sum_k a_k f_k(x), \quad z = \sum_\lambda a_{\lambda+n} g_\lambda(x)$$

$$Q_\psi + Q_\psi \cot\psi - N_\psi - N_\theta - p(a+v' + v \cot\psi - 2w) \quad (k = 1, 2, 3, \dots, n) \quad (\lambda = 1, 2, 3, \dots, n)$$

$$- \frac{1}{a} N_\psi (w' + 2v - w) \quad f_k = x^{2m} (1-x^2)^{2n}, \quad g_\lambda = x (1-x^{2\lambda})$$

$$- \frac{1}{a} N_\theta (w' \cot\psi + 2v \cot\psi - w) \quad (m, n) = (0, 1), (1, 1), (2, 1)$$

$$(3, 1), (6, 1), (1, 4), (2, 4)$$

$$- \frac{1}{a} [N_\psi + (N_\psi - N_\theta) \cot\psi] (w' + v) = 0 \quad (2) \quad (m, n) = (0, 1), (2, 1), (3, 1)$$

$$(6, 1), (1, 4), (2, 4)$$

$$Q_\psi = \frac{1}{a} (M_\psi + M_\psi \cot\psi - M_\theta \cot\psi) \quad (3)$$

$$f_7 = (1-x^2)^2 (x^2 - \frac{1}{4})$$

$$M_\theta = D(k_\theta + v k_\psi), \quad M_\psi = D(k_\psi + v k_\theta) \quad (4) \quad f_k = \frac{I_0(\alpha_k x)}{I_0(\alpha_k)} - \frac{J_0(\alpha_k x)}{J_0(\alpha_k)}$$

$$N_\theta = \frac{Eh}{1-v^2} (\epsilon_\theta + v \epsilon_\psi), \quad N_\psi = \frac{Eh}{1-v^2} (\epsilon_\psi + v \epsilon_\theta) \quad (5)$$

$$\sum_j^{2n+1} E_{jm} a_j + \sum_j^{2n+1} \sum_k^{2n+1} E_{jkm} a_j a_k$$

$$k_\psi = \frac{1}{a^2} (w' + v), \quad k_\theta = \frac{1}{a^2} (w' + v) \cot\psi \quad (6)$$

$$+ \sum_j^{2n+1} \sum_k^{2n+1} \sum_m^{2n+1} E_{jkm} a_j a_k a_m = 0 \\ (a_{2n+1} = q)$$

$$\epsilon_\theta = \frac{1}{a^2} (v \cot\psi - w) + \frac{1}{2a^2} (v \cot\psi - w)^2 \quad (7)$$

$$\epsilon_\psi = \frac{1}{a} (v' - w) + \frac{1}{2a^2} [(v' - w)^2 + (w + v)^2]$$

$$\delta y(t, x) = \sum \delta a_k(t) \cdot f_k(x),$$

Variational differential equations

$$\delta z(t, x) = \sum \delta a_{n+\lambda}(t) \cdot g_\lambda(x)$$

$$\delta N_\psi + (\delta N_\psi - \delta N_\theta) \cot\psi - p(\delta \dot{w} + \delta v) - \delta a h \delta v'' = 0$$

$$\delta a_k(t) = X_k e^{iwt},$$

$$\delta Q_\psi + \delta Q_\psi \cot\psi - \delta N_\psi - \delta N_\theta - p(\delta v'' + \cot\psi \delta v - 2\delta w)$$

$$\lambda^2 = \rho a^2 \frac{1-v^2}{E} w^2$$

$$- \frac{1}{a} (N_\psi \delta w'' + \delta N_\psi w'') - \frac{1}{a} (N_\theta \delta \dot{w} + \delta N_\theta \dot{w}) + \rho a h \delta v'' = 0$$

$$(k, \lambda = 1, 2, 3, \dots, n)$$

Stability Analysis for Elastic Continua.

Kohji Sumino , Yoshitaka Ogawa .

Kazuo Mizui .

Abstract - The axisymmetrical buckling behavior of clamped spherical shells with considerably small opening angle under uniform external quasistatic pressure is studied.

The equilibrium paths obtained by analyzing of the non-linear basic differential equations with two independent geometrical parameters, are compared with those of the previous works and the stability of the equilibrium paths is examined both statically and dynamically.

Analytical Results and Conclusions

- 1) The axisymmetric equilibrium solutions (both of algebraic and Bessel) in the present analysis have been in good agreement with those of the previous works in spite of the difference in the governing equations because of small deformation (as same order as shell thickness at most) (Figs. 1 ~ 10).
- 2) In the analysis of the variational equations without damping term, all eigenvalues (w_k^2) obtained are positive real numbers and distinct (no degeneracy) in the region before arriving at a first maximum value of pressure on the equilibrium path consequently the equilibrium configurations are clearly observed to be statically stable through the region. (Figs. 11, 12)

- 3) And then the first eigenvalue (w_1^2) has become to zero at the above maximum pressure. It is therefore shown that at this point on the path, an instability of divergence type which is usually called static snap-through takes place.
- 4) However, two or three eigenvalues have drawn extremely near each other in some ranges on the above equilibrium loading path and the corresponding modes of oscillation have become to similar. This tendency has also been remarkable with increasing $\alpha(\lambda)^*$. It may be accordingly seen that an Internal Resonance can be easily excited in these ranges. *(See Figs. 1 ~ 2)
- 5) Moreover it has been shown that a Flutter type instability occurs at the above range in the analysis of the variational equations modified by taking into account very small disturbances (Fig. 12) where these disturbances have been assumed to be axisymmetric.
- 6) From these results the author considers as follows: there also exists the possibility of dynamically buckling (axisymmetric or asymmetric) by flutter type in a practical process of quasistatic loading and the fluctuation in the experimental data of spherical shells is due to these dynamic excitements.